



## مقایسه و ارزیابی دو مدل ریاضی فیزیکی و نتایج تجربی حرکت پرتابه‌ای قطرات آب خروجی از آبپاش‌های زراعی (۳۴۱)

مجید رضا آیت‌الله<sup>۱</sup>، رضا آقازاده<sup>۲</sup>، رضا غفوری‌آهنگر<sup>۳</sup>

### چکیده

در این مقاله یک مدل ریاضی ساده بر اساس قانون پرتابه و یک روش تحلیلی (مدل ریاضی لورنزنی-Lorenzini) برای حرکت پرتابه‌ای قطرات آب خروجی از آبپاش‌های کشاورزی و صنعتی مورد بررسی قرار گرفته است. نتایج به دست آمده در فشارهای مختلف و همچنین زوایای مختلف نازل خروجی با نتایج تست آزمایشگاهی مورد مقایسه قرار گرفته است. نتایج روابط و میزان دقت این مدل‌ها با نتایج تست به‌وسیله یک نمونه آبپاش مورد ارزیابی قرار گرفته است. نتایج نشان می‌دهند که مدل ریاضی لورنزنی علاوه بر نیروی وزن، تاثیر نیروهای اصطکاک هوا و شناوری را به‌خوبی اعمال کرده و تصویر قابل قبولی از حرکت قطرات آب خروجی از نازل آبپاش نسبت به عمل را به دست می‌دهد.

**کلید واژه:** آبپاش، قانون پرتابه، مدل ریاضی لورنزنی، نیروی اصطکاک هوا، نیروی شناوری

۱- استاد، دانشکده مهندسی مکانیک، دانشگاه علم و صنعت ایران، پست الکترونیک: m.ayat@iust.ac.ir

۲- کارشناس مهندسی مکانیک، دانشگاه علم و صنعت ایران

۳- کارشناس ارشد مهندسی مکانیک، دانشگاه علم و صنعت ایران



#### ۱- مقدمه

آبپاش های کشاورزی و صنعتی نقش بسیار مهمی را در صنایع کشاورزی و تولید مواد غذایی ایفا می کنند. چنانچه کرکد رست و دقیق آنها تاثیر بسزایی بر روی مقدار محصولات برداشت شده را به همراه دارد [۲،۱]. کشاورزی نیازمند آبیاری، حدود ۴۰٪ غذای مورد نیاز را تولید می کند و ۶۹٪ کل منابع آب شیرین را مصرف می کند (FAO, 2000) [۳]. دانستن تمام عوامل موثر بر جریان سیال اسپری شده و افت از طریق تبخیر در آبیاری با آبپاش در بهبود راهکارهای مناسب حفاظت از آب مهم است. برای حل این مشکل، مطالعات عملی و نظری مناسب در نیمه دوم قرن اخیر صورت گرفته است. میزان تلفات تبخیر و راندگی از تفاضل بین آب خارج شده از آبپاش و آبی که به سطح خاک می رسد به دست می آید [۴].

از زمان کریستینسن (1984)، Christiansens و کارهای کلاسیک کنونی اش، مطالعات مهمی (نظری و عملی) برای تعیین جریان اسپری آبپاش و تلفات تحت شرایط جوی و عملی مختلف انجام شده است. اساساً دو راهکار (آماری و ریاضی فیزیکی) برای حل اتلاف جریان اسپری موجود است. در روش اول، تلفات تبخیر اندازه گیری شده به پارامترهای عملکردی و محیطی ارتباط داده می شود. راهکار دوم به مدلی متولسل می شود که معادله هایی را که تبخیر قطره آب را مشخص می کند به نظریه دینامیک ذره مربوط می کند.

در راهکار آماری، برهمکنش دو طرفه همه عوامل موثر بر مسیر هوایی و تلفات قطره آب (که ذکر چند مورد زیر حائز اهمیت است: اندازه قطره، دمای هوای اصطکاک هوا، رطوبت نسبی، تابش خورشید، سرعت باد) که نازل آبپاش را ترک می کند کار بر وی تهییه یک توضیح مفصل و صحیح و ارزیابی پدیده را سخت می کند.

یازار<sup>۱</sup> در سال ۱۹۸۴ با آزمایش توسط لوازم جانبی آبپاش، این معادله را بدست آورد [۵]:

$$E = 0.389 e^{(0.18w)} (e_s - e_a)^{0.7} \quad (1)$$

که در آن  $E$  درصد اتلاف جریان تخلیه شده به علت تبخیر بصورت % است،  $w$  سرعت باد با واحد  $\text{ms}^{-1}$  می باشد و  $e_s$  و  $e_a$  به ترتیب فشار بخار اشباع و فشار بخار واقعی هوا در واحد  $\text{KPa}$  می باشند. با در نظر گرفتن باد به عنوان تنها عامل موثر بر تلفات تبخیر در یک آزمایش با آبپاش یازار در سال ۱۹۸۴ معادله زیر را به دست ورد:

$$E = 1.68 e^{0.29W} \quad (2)$$

تارجوئلو<sup>۲</sup> در سال ۲۰۰۰ یک سری تحقیقات تجربی برای تخمین تلفات تبخیر راندگی بوسیله باد در طول آبیاری با آبپاش انجام داد. نازل های آبپاش و ارتفاع بالا آمده مختلف مورد استفاده قرار گرفتند و تغییرات تبخیر و شرایط هوا در طول آزمایش اندازه گیری شدند که باعث شد محققین مدل آماری زیر را برای پیش بینی تلفات آب در کارکرد آبپاش تعریف کنند [۴]:

$$L = qp + C_2 (e_s - as_a)^{0.5} + C_3 w + e \quad (3)$$

که در آن  $L$  تلفات راندگی و تبخیر بر حسب % و  $C_2, C_3$  ضرایب پسرفت و  $e$  خطای آزمایش می باشند. مدل ایزار مفیدی برای تعیین زمان بندی آبیاری بصورت یکتابع از شرایط عملکردی و محیطی می باشد تا تلفات راندگی و تبخیر را کاهش دهد. در راهکار ریاضی فیزیکی، یک مدل ریاضی اثبات شده می تواند یک ایزار تحقیق و مهندسی با ارزش باشد. کینزر و گان<sup>۳</sup> در سال ۱۹۵۱ بر اساس انتقال جرم و حرارت و ناچیز در نظر گرفتن اثرهای دینامیکی بر قطره به معادله زیر دست یافتند [۶]:

<sup>1</sup>- Yazar

<sup>2</sup>- Tarjuelo et al.

<sup>3</sup>- Kinzer and Gunn



$$\frac{dm}{dt} = 4\pi a^2 K \left( \frac{d\rho_v}{dR} \right)_a \quad (4)$$

که در آن  $m$  جرم قطره بر حسب  $a$ , kg شعاع خارجی قطره با واحد  $m$  پخش پذیری بخار در هوا با واحد  $\text{m}^2 \text{s}^{-1}$  گرادیان چگالی بخار هوا در سطح قطره بر حسب  $(d\rho_v/dR)_a$  چگالی بخار با واحد  $\text{kg m}^{-3}$  و  $R$  مولفه شعاعی با واحد  $\text{m}$  باشد. گورینگ<sup>۱</sup> در سال 1972 به معادله زیر برای محاسبه تغییر در قطر قطره  $D$  به علت تبخیر، بر اساس قیاس انتقال جرم و حرارت رسید [۷]:

$$\frac{dD}{dt} = -2 \left( \frac{M_v}{M_m} \right) \left( \frac{K}{D} \right) \left( \frac{\rho}{\rho_d} \right) \left( \frac{\Delta P}{P_f} \right) Nu' \quad (5)$$

که در آن  $M_v$  وزن مولکولی بخار بر حسب g,  $M_m$  وزن مولکولی هوا با واحد g:  $K$  پخش پذیری بخار در هوا بر حسب  $\text{m}^2 \text{s}^{-1}$   $\rho$  چگالی هوا با واحد  $\text{kg m}^{-3}$   $\rho_d$  چگالی قطره بر حسب  $\text{kg m}^{-3}$   $\Delta P$  اختلاف بین فشار اشباع در دمای جباب تر هوا و فشار بخار در دمای جباب خشک بر حسب  $P_f$ , Pa فشار جزئی هوا با واحد Pa,  $Nu'$  که به صورت خاص تعریف می شود عدد نوسلت برای انتقال حرارت می باشد.

## ۲- مواد و روش ها

برای مطالعه مسیر هوایی قطره های آب دو معادله حرکت پرتابه ای در خلا و مدل لورنزنی مورد بررسی قرار گرفته است. در معادله دوم برخلاف اولی اثر اصطکاک هوا و نیروی شناوری نیز وارد شده است.

### ۱-۱- معادله پرتابه

معادله پرتابه حرکت یک جسم با یک سرعت  $v_0$  و زاویه پرتاب نسبت به زمین را در خلا بررسی می کند. در این معادله اصطکاک هوا و نیروی شناوری که به دلیل جرم کم قطره آب دو فاکتور تاثیرگذار بر حرکت قطره های آب خروجی از نازل آب پاش می باشند، در نظر گرفته نشده اند. طبق این معادله داریم:

$$R = \frac{v_0^2 \sin 2\varphi}{g} \quad (6)$$

$$H = \frac{v_0^2 \sin^2 \varphi}{2g} \quad (7)$$

$$y = \frac{1}{2} gt^2 + v_0 t \sin \varphi + h \quad (8)$$

در روابط بالا،  $R$  برد آب پاش،  $H$  ارتفاع اوج آب،  $y$  ارتفاع آب در لحظه  $t$  بعد از خروج از نازل آب پاش بر حسب سرعت اولیه قطره هنگام خروج از نازل آب پاش با واحد  $\text{m s}^{-1}$  و  $\varphi$  زاویه نازل نسبت به زمین می باشند.

### ۲-۲- مدل ریاضی لورنزنی

حرکت یک قطره از نازل آب پاش به زمین بوسیله اصل دوم دینامیک شرح داده می شود:

$\vec{F} = m\vec{a}$  در آن  $\vec{F}$  نیروی کل در واحد N است که بر قطره عمل می کند و جمع برداری وزن قطره به جرم  $m$  بر حسب  $\text{kg}$  منهای نیروی شد و نیروی اصطکاک که در طول مسیر روی قطره با شتاب  $\vec{a}$  با واحد  $\text{ms}^{-2}$  عمل می کند، می باشد. ضریب اصطکاک استفاده شده در مدل همان است که بوسیله بیرد<sup>۲</sup> تعریف شده است. برای جریان سیال محاصره کننده قطره داریم:

<sup>4</sup>- Goering et al.

<sup>1</sup>- Fanning (Bird et al. 1960)



الف) برای اعداد رینولدز  $f = 24/Re$  :  $Re < 0.1$

ب) برای  $0.1 < Re < 500$  :  $f = 18.5/Re^{0.6}$

ج) برای  $500 < Re < 200000$  :  $f = 0.44$

مورد (الف) قانون جریان ام استوکسی را بیان می کند و مورد (ب) درباره قانون جریان میانی و مورد (ج) قانون جریان مغشوش نیوتون است.

مورد (الف)، بصورت آماری، کمتر در عمل آبیاری آبپاش در سرعت جریان معمولی اتفاق می افتد، برای قطر قطره از اندازه  $0.1 \text{ mm}$  ممکن است به ار رود که نوعاً در ابزارهای اسپری شیمیایی اتفاق می افتد تا با آبیاری معمولی.

برای رسیدن به مدل ریاضی مناسب برای حرکت قطره های خروجی از نازل آبپاش با فرضیات زیر شروع می کنیم:  
سیستم فیزیکی مورد نظر یک قطره است که دقیقاً مطابق خروجی نازل تولید می شود و ذروهی واردہ بر سیستم عبارتند از وزن، شناوری و اصطکاک. قطره شکل کروی دارد، حجم قطره در طول مسیر ثابت است، اصطکاک همان امتداد سرعت قطره را دارد ولی در جهت مخالف آن.

پارامترهایی که باید معرفی گردند عبارتند از ارتفاع نازل  $h$  نسبت به سطح زمین، سرعت قطره  $v$  و زاویه  $\alpha$  نسبت به سطح افق جت.

اگر  $n$  جرم قطره برای محاسبه جزء شناوری باشد و پارامتر  $k$  بر حسب  $k = f\rho A/2$  (که به وسیله  $k = f\rho A/2$  که در آن  $\rho$  چگالی هوا، وابسته به دما،  $A$  سطح مقطع قطره بر حسب  $m^2$  است، داده می شود) ضریبی است که عمل نیروی اصطکاک را تعريف می کند، دلهای نهایی در جهت های افقی و عمودی به بت می آیند:



$$m \ddot{x} = -k \dot{x}^2 \quad (9)$$

$$m \ddot{y} = -k \dot{y}^2 - n g \quad (10)$$

که در آن  $\dot{x}$ ,  $\dot{y}$ ,  $\ddot{x}$  و  $\ddot{y}$  سرعتها بر حسب  $ms^{-1}$  و شتابها بر حسب  $ms^{-2}$  به ترتیب در جهت های افقی و عمودی هستند. شرایط اولیه عبارتند از:

$$x(t=0) = 0 \quad (11)$$

$$\dot{x}(t=0) = v_{0x} \quad (12)$$

برای معادله اول و

$$y(t=0) = h \quad (13)$$

$$\dot{y}(t=0) = v_{0y} \quad (14)$$

برای دومی می باشد و در آن  $t$  زمان،  $v_{oy}$ ,  $v_{ox}$  به ترتیب بیانگر مولفه های سرعت افقی و عمودی بر حسب  $ms^{-1}$  هستند، در ورودی  $h$  ارتفاع نازل از سطح زمین با واحد m است [۸]. با انتگرال گیری از دستگاه معادله های دیفرانسیل حل تحلیلی کامل مسئله به فرم معادله های پارامتری موقعیت  $(x(t), y(t))$ ، سرعت  $(\dot{x}(t), \dot{y}(t))$  و زمان حرکت (معادله های لورنزنی) را بدست می آوریم:

$$x(t) = \frac{m}{k} \ln\left(\frac{v_{0x} k}{m} t + 1\right) \quad (15)$$

$$y(t) = h - \frac{m}{k} \ln \frac{\cos(\arctan \frac{\sqrt{k/m} v_{0y}}{\sqrt{n/m} g})}{\cos(\arctan \frac{\sqrt{k/m} v_{0y}}{\sqrt{n/m} g} - t \frac{\sqrt{kng}}{m})} \quad (16)$$

$$\dot{x}(t) = \frac{mv_{0x}}{m + kv_{0x}t} \quad (17)$$

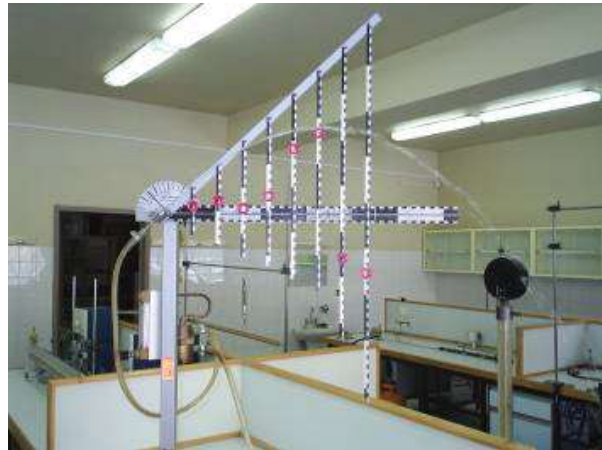
$$\dot{y}(t) = -\sqrt{\frac{ng}{k}} \tan \left[ -\frac{\sqrt{ngk}}{m} t + \arctan \left( \sqrt{\frac{k}{ng}} v_{0y} \right) \right] \quad (18)$$

$$\frac{m \sqrt{gkn} \operatorname{arcsec} \left[ e^{hk/m} \sqrt{1 + \frac{kv_{0y}^2}{gn}} \right] + m \sqrt{gkn} \arctan \left[ \frac{\sqrt{k/m} v_{0y}}{\sqrt{gn/m}} \right]}{gkn} \quad (19)$$

که  $\tau$  زمان حرکت قطره از زمان خروج از نازل تا رسیدن به سطح خاک می باشد [۹].

### ۳- نتایج و بحث

برای درستی سنجی مدل دینامیکی آزمایش های صورت گرفت و نتایج آن با مقادیر واقعی مورد مقایسه قرار گرفت. بدین منظور یک دستگاه آب پاش با زاویه پاشن قابل تغییر و نیز یک مدل آب پاش ضربه ای مورد استفاده قرار گرفت (شکل ۱).

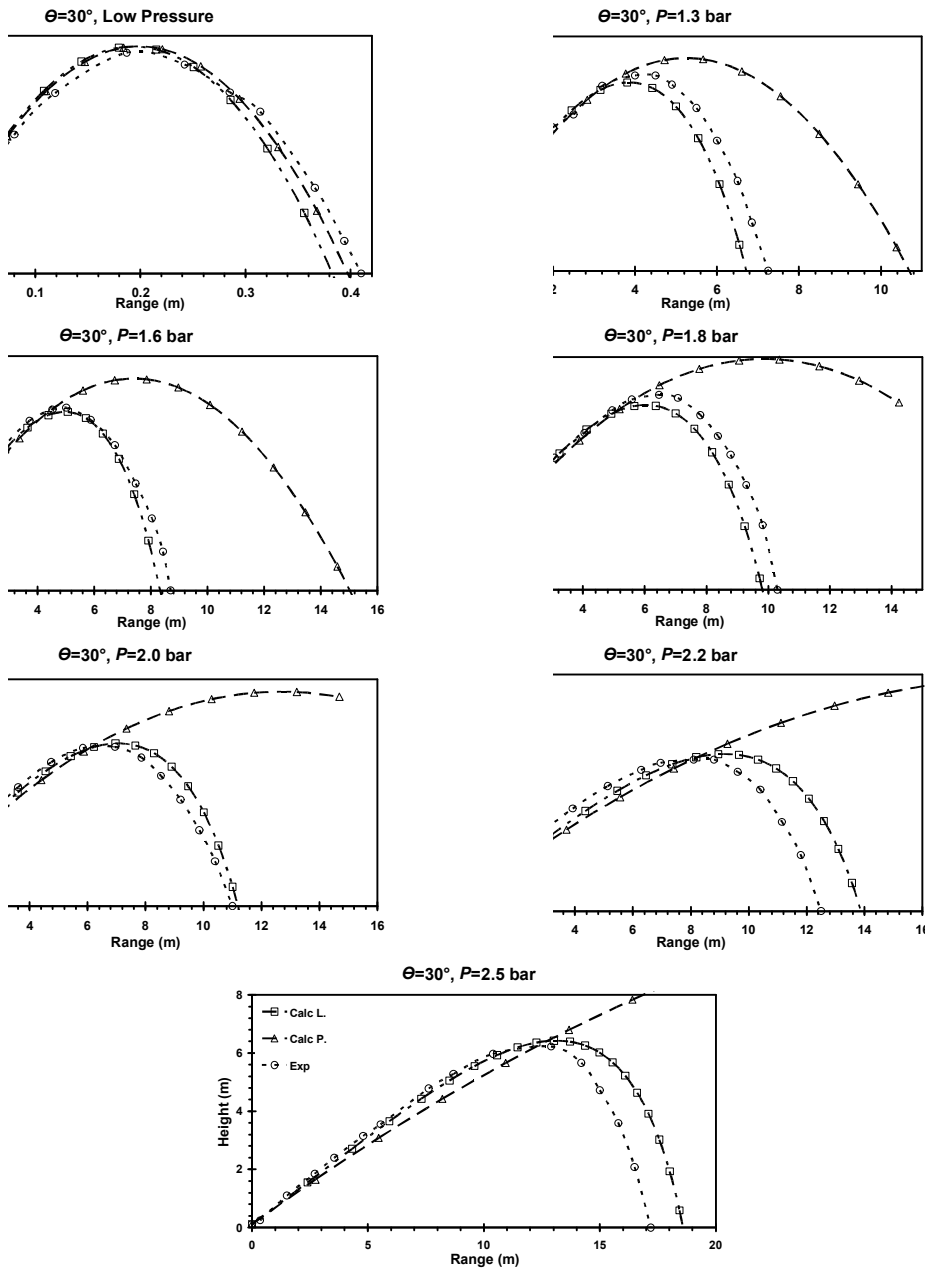


شکل ۱- دستگاه آبپاش با زاویه پاشش قابل تغیر

مشخصات آبپاش مورد آزمایش به شرح زیر میباشد:

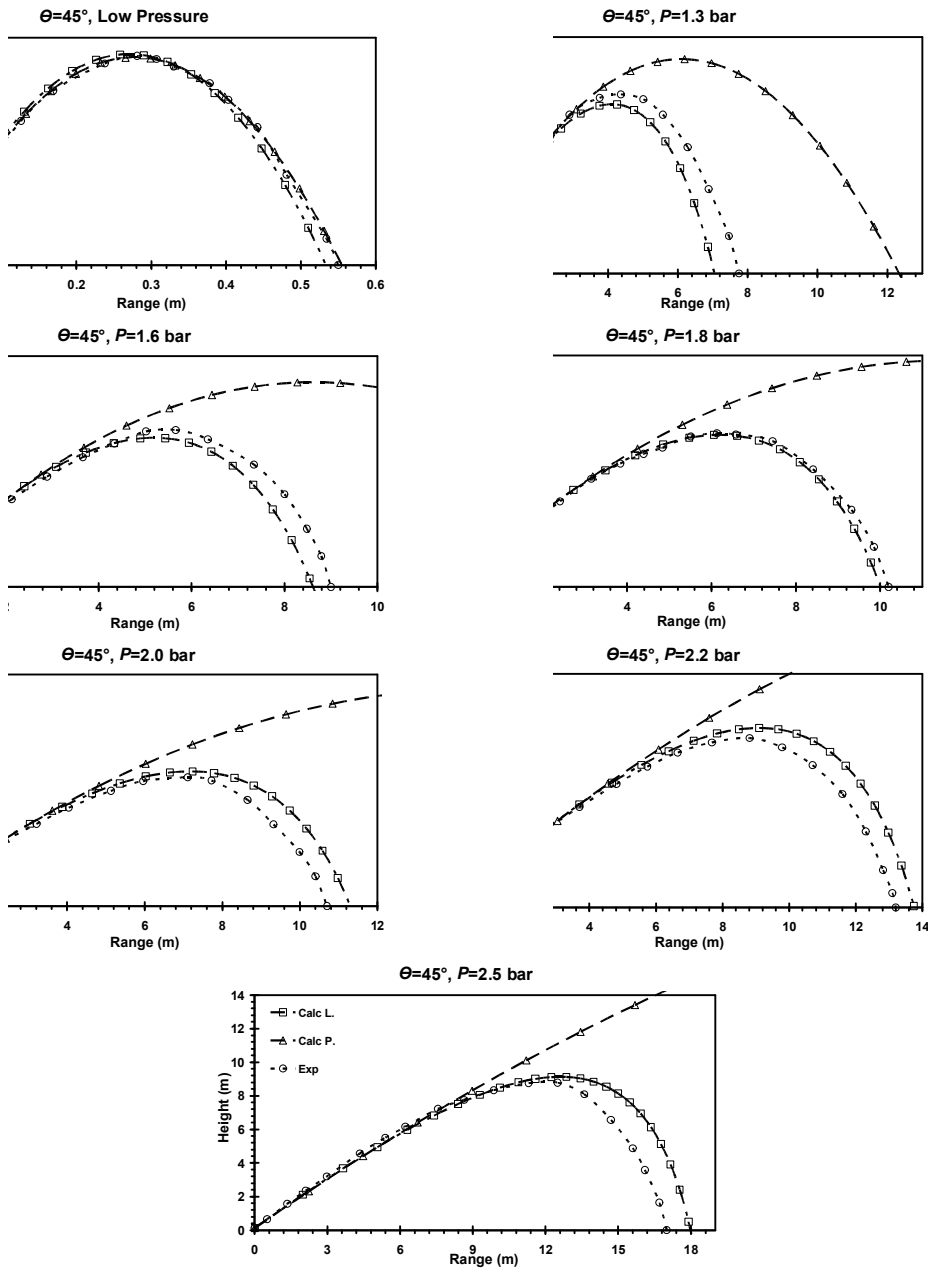
$$\begin{aligned} \text{قطر نازل} &= 4 \text{ mm} \\ \text{ارتفاع نازل (h)} &= 12 \text{ cm} \end{aligned}$$

آزمایش‌ها در شرایط جوی بدون بدمای  $25^{\circ}\text{C}$  انجام شده است. در شکل‌های ۲ تا ۴، نتایج مسیر حرکت آب از آبپاش به ازای فشارهای مختلف بین حدود ۱ تا ۲.۵ bar مقایسه شده است. در شکل ۲، نمودارها برای زاویه نازل معادله پرتابه (Calc P.) و معالهای لورنزنی (Calc L.) نمودارها برای زاویه  $30^{\circ}$  خروجی گردیده است.

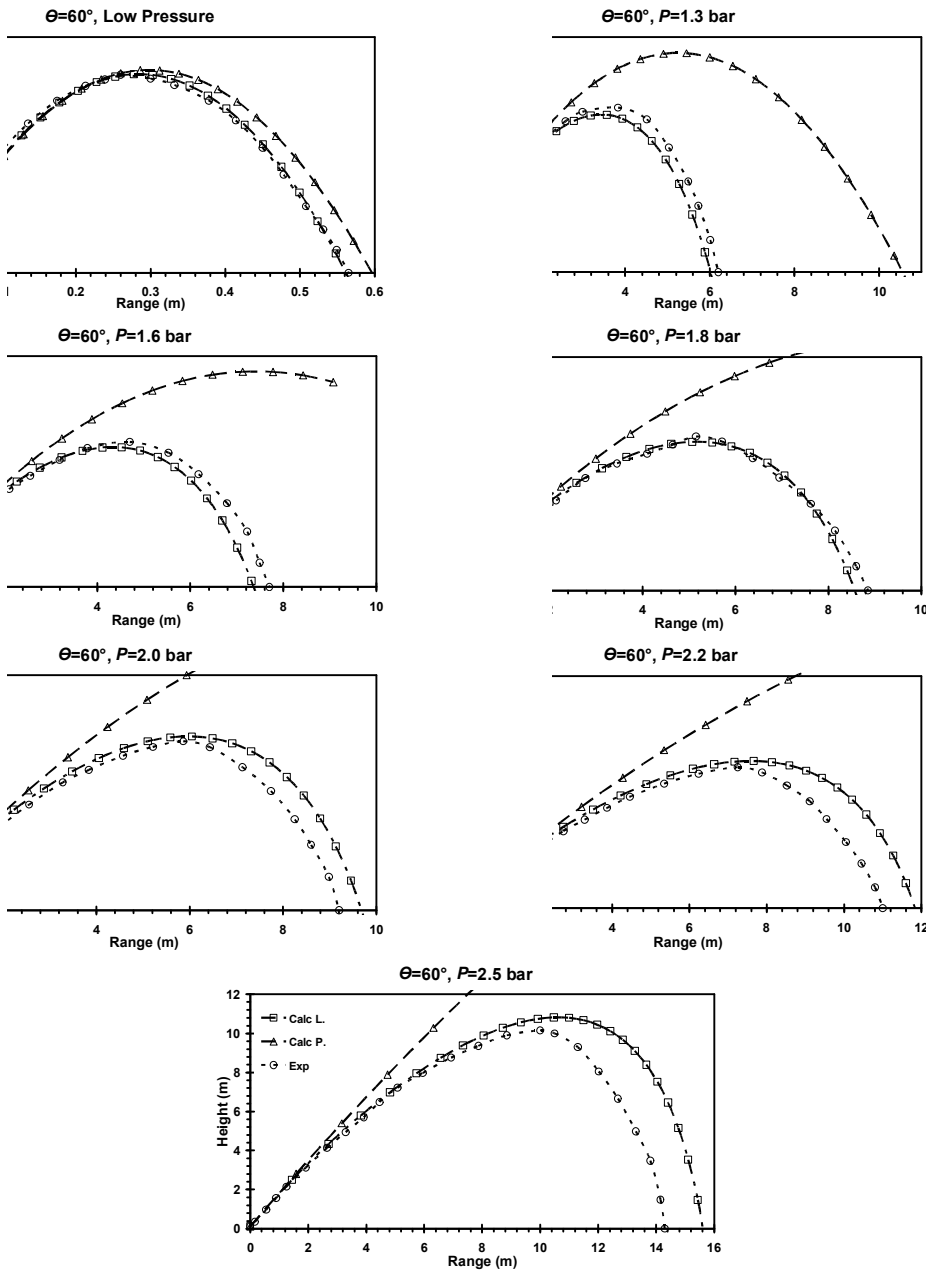


شکل ۲- مقایسه مسیر حرکت قطره های آب به صورت تجربی (Exp) و معادله های پرتابه (Calc L.) و (Calc P.) برای  $\theta=30^\circ$

در شکل ۳، نمودارها برای زاویه نازل خروجی  $45^\circ$  و در شکل ۴، نمودارها برای زاویه نازل خروجی  $60^\circ$  ارائه گردیده است. در این نمودارها مشاهده می شود که در فشار کم، نتایج تست آزمایشگاهی، معادله پرتابه (Calc P.) و معادله های لورنزنی (Calc L.) اختلاف ناچیزی دارند. برای فشار 1.3bar نتایج معادله پرتابه از نتایج آزمایشگاهی اختلاف زیادی پیدا می کند. در صورتی که نتایج معادله لورنزنی دارای اختلاف بسیار کمی می باشد. در فشارهای بالا نتایج معادله پرتابه دیگر قابل مقایسه نیستند. در صورتی که نتایج نتایج لورنزنی در محدوده قابل قبولی وجود دارد.



شکل ۳- مقایسه مسیر حرکت قطره های آب به صورت تجربی (Exp.) و معادله های پرتا به (Calc. L.) و لورنینی (Calc. P.) برای  $\theta = 45^\circ$



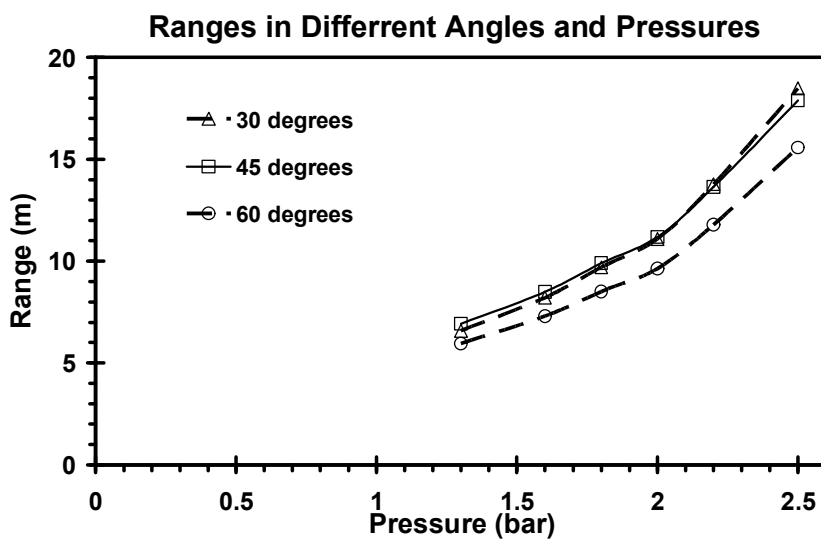
شکل ۴- مقایسه مسیر حرکت قطره های آب به صورت تجربی (Exp) و معادله های پرتابه (Calc L.) و (Calc P.) برای  $\theta=60^\circ$

درصد خطابه برای هر دو معادله لورنزنی و پرتابه در جدول ۱ آمده است [۱۰]. در نمودار فشار-برد نشان داده شده است. این نمودار از داده های به دست آمده از معادله لورنزنی رسم شده است. در این نمودار مشاهده می شود که بر خلاف معادله پرتابه که مقدار برد در یک فشار خاص در دو زاویه  $30^\circ$  و  $60^\circ$  یک مقدار دارند، در عمل اینگونه نمی باشد و زاویه  $30^\circ$  دارای برد بیشتری می باشد. همینطور مشاهده می شود که در زاویه  $45^\circ$  بیشترین برد برای فشارهای پایین می باشد و با افزایش فشار، چنانچه زاویه نازل کاهش یابد برد نیز افزایش می یابد.



جدول ۱- درصد خطا برای معادله های Lorenzini و پرتابه در مدل سازی حرکت قطره های آب

|   |                    | Percentage of error for Lorenzini & Projectile equations |                |            |            |            |            |  |
|---|--------------------|--|----------------|------------|------------|------------|------------|--|
| P<br>es<br>r<br>e<br>s<br>t<br>A<br>n<br>g<br>l<br>e<br>s<br>t<br>s | Lo<br>w<br>P.<br>. | 1.3<br>ba<br>r   | 1.6<br>ba<br>r | 1.8<br>bar | 2.0<br>bar | 2.2<br>bar | 2.5<br>bar |  |
| 30  | -<br>6.1           | -<br>9.2   | -<br>5.6       | -5.8       |            |            |            |  |
|   | -<br>2.2           | -<br>10.<br>7  | -<br>5.7       | -2.9       |            |            |            |  |
|   | -<br>0.9           | -<br>4   | -<br>5.2       | -3.8       |            |            |            |  |
| 45  | -<br>2.4           | 46.<br>9   | 71.<br>8       | 93.2       |            |            |            |  |
|   | 0.9                | 58.<br>7   | 92.<br>8       | 127.<br>4  |            |            |            |  |
|   | 4.4                | 71.<br>8   | 94.<br>2       | 124.<br>9  |            |            |            |  |
| 60  |                    |  |                |            |            |            |            |  |



شکل ۵- معادله بین برد آب پاش و فشار در زوایای مختلف بر اساس معادله Lorenzini

۴- نتیجه گیری و پیشنهادها



یک مدل ریاضی ساده بر اساس یک روش تحلیلی و قانون پرتابه برای اجسام در خلا برای حرکت پرتابهای قطرات آب خروجی از آبپاش مورد بررسی قرار گرفته است. همچین میزان دقت این مدل‌ها با آزمایش بهوسیله یک نمونه آبپاش و به دست آوردن نتایج واقعی مورد ارزیابی قرار گرفته است. نتایج به دست آمده نشان می‌دهند که:

در فشارهای کمتر هر دو معادله پرتابه و لورنزنی نتایج قابل قبولی را به دست می‌دهند. در فشارهای کاری بالاتر از 1 bar که فشار معمول در کارکرد آبپاش‌ها می‌باشد) معادله پرتابه به دلیل عدم در نظر گرفتن اصطکاک هوا و نیروی شناور به همیچوجه مناسب نیست. ولی در این فرازها نتایج معادله لورنزنی به نتایج واقعی نزدیک است. در فرازهای بالا برد واقعی از برد محاسبه شده توسعه مدل لورنزنی کمتر است. چون با طولانی شدن مسیر حرکت قطره‌های بزرگ‌تر به قطره‌های با قطر کوچک‌تر تبدیل می‌گردند و تأثیر اصطکاک هوا بر این قطره‌ها بیشتر است.

زواخهای نازل خروجی آبپاش 30 و 60 درجه عمل با شرایط آبیاری یکسان دارای برد یکسان نمی‌باشند و زاویه 30 درجه بیشتری می‌باشد. با صرف نظر از اصطکاک هوا، همواره زاویه 45 درجه بیشترین برد می‌باشد. اما مشاهده شده است که در فشارهای بالاتر، با وجود اصطکاک زوایای کمتر از 45 درجه بیشترین برد می‌باشد.

یک مدل مناسب برای حرکت پرتابهای قطرات آب در ارزیابی سیستم آبیاری و گسترش راهکارهای حفظ منابع آب بسیار مؤثر است. بدین منظور نیاز به دانستن تمام عوامل مؤثر بر مسیر هوایی قطره‌های آب و تلفات تبخیر می‌باشد.

#### مراجع

۱- غفوری‌آهنگر، ر.، صفرپور‌خالدی، م. ر.، ۱۳۸۵. طراحی و ساخت آبپاش زراعی مکانیکی با قابلیت آبیاری سطوح مربعی، دانشگاه آزاد اسلامی واحد ساری.

2- Al-Jamal, M.S., Ball, S., Sammis, T.W., 2001. Comparison of sprinkler, trickle and furrow irrigation efficiencies for onion production, Agricultural Water Management 46, USA, Sec 264:266.

3- Akram Kahloon, M., Raoof, A., Zubair, M., Doral Kemper, W., 2006. Water use efficiency and economic feasibility of growing rice and wheat with sprinkler irrigation in the Indus Basin of Pakistan, Agricultural Water Management 87, Sec 292:293.

4- Tarjuelo, J.M., Ortega, J. F., Montero, J., de Juan, J.A., 2000. Modelling evaporation and drift losses in irrigation with medium size impact sprinklers under semi-arid conditions, Agricultural Water Management 43, Spain, Pages 263-284.

5- Yazar, A., 1984. Evaporation and drift losses from sprinkler irrigation systems under various operating conditions, Agricultural Water Management 8, pages 439–449.

6- Kinzer, G.D., Gunn, R., 1951. The evaporation, temperature and thermal relaxation-time of freely falling waterdrops, Journal of Meteorology 8(2), Pages 71-83.

7- Goering, C.E., Bode, L.E., Gebhard, M.R., 1972. Mathematical modeling of spray droplet deceleration and evaporation, Transactions of the ASAE 15(2), Pages 220-225.

8- De Wrachien, D., Lorenzini, G., 2006. Modeling Jet Flow and Losses in Sprinkler Irrigation: Overview and Perspective of a New Approach, Biosystems Engineering 94, Sec 297:309.

9- Lorenzini, G., 2004. Simplified Modelling of Sprinkler Droplet Dynamics, Biosystems Engineering 87, Sec 1:11.

۱۰- آیت‌الهی، م. ر.، آقازاده، ر.، ۱۳۸۶. طراحی و ساخت آبپاش زراعی مکانیکی با مکانیزم ضربهای برای آبیاری سطوح چند ضلعی، دانشگاه علم و صنعت ایران.